

コンピュータ・シミュレーションによるトンネル施工システムの解析

(株) 舟村組技術研究所 正員 河原畠 良弘
京都大学工学部 正員 春名 攻
(株) 舟村組技術研究所 正員 ○岡本伸一

1. まえがき

トンネル施工における施工設備計画は各現場において経験的に決定されているのが現状である。これは岩質、ゆう水などの不確定要因もさることながら、投入機械の種類、数量が多く、その組み合せは膨大な数になるため機械設備の有効な決定方法が存在しないというのが一つの理由である。

また、トンネル工事は他の建設工事と比べて作業空間が著しく制約されるため、作業間に物理的干渉が生じやすい。この物理的干渉の程度は設備機械と密接に関係すると考えられ、同時に工期全体にも重大な影響を及ぼすものである。しかし、この物理的干渉を定性的、定量的には握ることが十分にされていないため機械系選定にとって重要な情報が不足していたというのも事実である。

本文では多くの機械系のなかから合理的な機械系を選択するための有効な情報をコンピュータ・シミュレーションによって得ようとしたものである。

2. トンネル施工システム

トンネル施工システムは一つの分類方法として工法別施工システムが定義されるが、本文では長大トンネルを対象し、その場合最も一般的である底設専坑先進上部半断面掘削工法をとりあげることにした。

(1) トータル・システムの構造

トータル・システムは8つの坑内サブシステムと2つの坑外サブシステムで構成される。これらのサブシ

ステムは必ず運搬路あるいはコンクリート運搬路として線路を共有することにより互いに相互干涉を発生すると考えられる。図-1はトータル・システムの構造を示す模式図であり、表-1は各サブシステムと作業場所との対応表である。

(2) サブシステムの構造

サブシステムは坑内サブシステム群(サブシステム1~8)と坑外サブシステム群(サブシステム9, 10)にわかれる。坑内サブシステム群と坑外サブシステム群は前者をメインとする補完システムを形成する。ここではメイン・システムである坑内サブシステム群だけを取り扱うこととする。坑内サブシステム群は掘削作業グループ(サブシステム1~5)と覆工作業グループ(サブシステム6~8)に分けることができる。掘削作業グループと覆工作業グループの構造をパターン化して図-2, 3に示す。

トンネル施工は各サブシステムにおいて図-2, 3に示されるパターン化された一連の作業(これを1サイクルとよぶ)がサイクリックに行われるものである。

サブシステムNo	シンボル	作業場所
1	D	導坑切端
2	J	上半切端
3	O	大背切端
4	N	土平破砕り切端
5	M	土平底掘り切端
6	A	アーチコンクリート打設切端
7	F	脚付コンクリート打設切端
8	W	底コンクリート打設切端

表-1 サブシステムと作業場所との対応

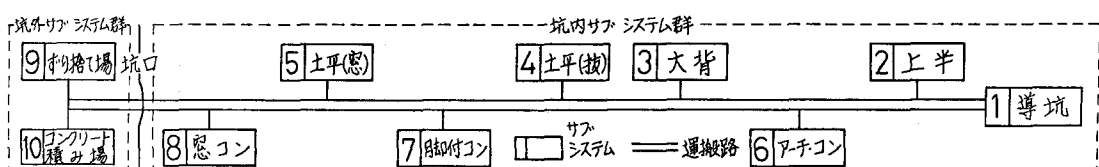


図-1 トータル・システムの構造

1サイクルに要する作業時間をサイクル・タイムとよぶ。掘削作業グループのサイクル・タイムを T_E (min), 覆工作業グループのサイクル・タイムを T_L (min)とすれば、

$$T_E = \sum_{i=1}^j t_i \quad j = \begin{cases} 8 & (\text{サブシステム } 1, 2) \\ 5 & (\text{サブシステム } 3 \sim 5) \end{cases}$$

$$T_L = \sum_{i=9}^{11} t_i$$

で表わされる。ただし t_i はサイクルを構成する個々の作業に要する時間表示す。

3. 標準工程表と必要サイクル・タイム

工期が与えられると切端間のはなれから標準工程表が得られる。標準工程表は各サブシステムに許される工期を外生的に与えるという点で施工計画における機械系の選定にとって重要な意味をもつものである。

標準工程表から各サブシステムごとの工期が決定されるとサブシステムの構造から1サイクルあたりそれ以上の時間をかけることのできない値(サイクル・タイムの上界値)が求まる。この値を必要サイクル・タイム(CTR -Cycle Time Required)とよぶ。結局各サブシステムにおいてサイクル・タイムが CTR 以下であればトータル・システムとしての全体工期を満たすことになる。

4. 合理的機械系

機械系の選択は機種と台数の両面で考えられる。掘削作業グループの機械系を構成する要素、すなわち、

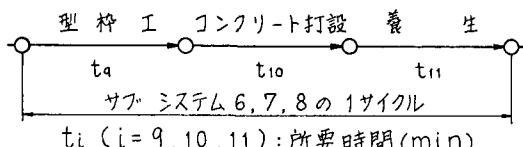


図-3 覆工作業グループの構造

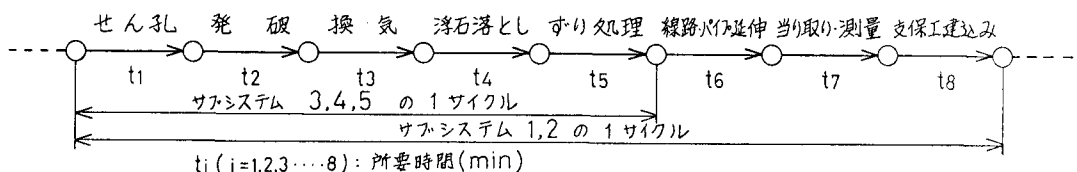


図-2 トータル・システムの構造

個々の機械の施工能力と密接に関係すると想われるものは削岩機、すりトロ、ロコ、すり積み機であり、覆工作業グループにはコンクリート運搬車、ロードマシーン等も含まれられる。トンネル工事における機械系は一般にサブシステム単位で構成されるものであり、複数のサブシステムに1つの機械系を共有させることがない。1つのサブシステム j において、ある機械系 i を投入した場合の外生的な計画サイクル・タイム(CTP -Cycle Time Planned) $pTi(\lambda_j)$ (min)は、

$$pTi(\lambda_j) = f_i(\lambda_j)$$

で求められる。ここで f_i は各サブシステムが独立かつ内部干渉が無い場合のサブシステム i のサイクル・タイムを求める関数である。トータル・システムの構造で述べたように運搬路を共有することによりサムシステム間に干渉が生じるため、実際のサイクル・タイムは通常 pTi よりおそくなる。この干渉によるおくれを $\alpha_i(\lambda_j)$ とすれば実際の外生的な生起サイクル・タイム(CTO -Cycle Time Occurred) $oTi(\lambda_j)$ (min)は、

$$oTi(\lambda_j) = pTi(\lambda_j) + \alpha_i(\lambda_j) \quad \alpha_i(\lambda_j) \geq 0$$

となる。 CTP , CTO , CTR の関係を図-4に示す。

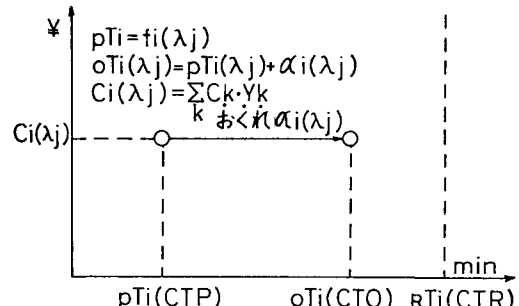


図-4 各サイクル・タイムの関係

一方機械原価を構成する機械の公表価格をC₁と(円/台), その投入台数をY₁(台)として,

$$C_i(\lambda_j) = \sum_k C_k \cdot Y_{kj} \quad k \ni \lambda_j$$

を評価指標として導入する、ここで合理的と考えられる機械系をすべてのものについて

$$\min \{ c_i(\lambda_j) \mid oT_i(\lambda_j) \leq rT_i \}$$

を与える機械系 π の集合であると定義する。

5. シミュレーション・モデルの概要

(1) GPSSによるシミュレーション・モデル

本のログラムは列車をトランザクションとし、線路をファシリティの連続したものとしてモデル化している。そのモデルの概略を図-5に示す。図中31は山側線路を32は海側線路を示し、311は31のうち焼口から数えて1番目のファシリティを示すものである。列車はボイントで待つかどうか、作業場所がどこであるかなどを判断して進むことになる。

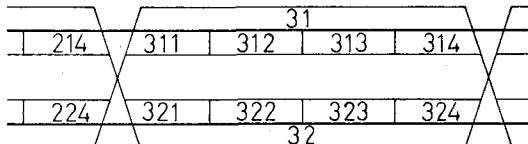


図-5 坑内線路モデル

(2) インプットデータと前提条件

- a. 岩質分布 --- 山陽新幹線・新大阪～博多間のトンネルについて国鉄岩分類によりクラス分けし、その結果を考慮して平均的な岩質分布として図-6のように決定した。

b. 断面---新幹線型標準断面上する。

C. トンネル延長---長大トンネルの工区割りの実績から3km前後の工区延長が最も多いことから、モード

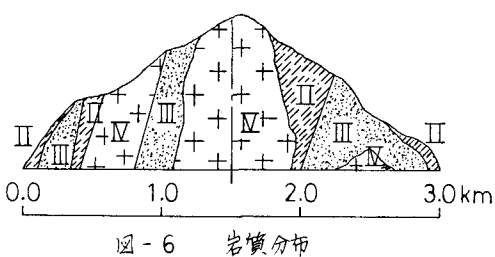


図-6 岩質分布

ルトニネルの延長を3kmとする。

d. 工法---底設導坑先進上部半断面掘削工法とし
すり搬出およびコンクリート運搬は複線レール方式と
する。

e. 標準工程---過去の実績から10年後の標準工程と月あたりの平均進行長を想定し、図-7のようなら施工工程とする。又、サスシステム4, 5の施工順序を図-8のように定める。

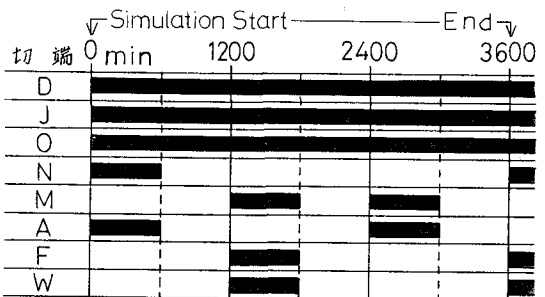


圖 - 7 施工工程

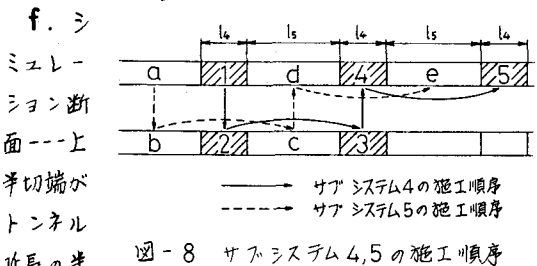


図-8 サブシステム4,5の施工順序

分(坑口から1.5 kmの地点)にさしかかった時点とする。これはこの時点で工事が最盛期になると考へ、全くの作業が始まった時点を想定したものである。この時点の各切端の坑口から的位置を示せば表-2のよ

切端	位置	切端	位置
D	206186	M	85162
J	150000	A	141960
O	126071	F	101769
N	110119	W	77655

単位: cm
表-2 切端位置

表-2 切端位置

9. 必要サイクル・タイム--以上の前提から各サブシステムの必要サイクル・タイムは表-3のように計算される。

切端	CTR	切端	CTR
D	210.7	M	300.0
J	282.1	A	600.0
O	188.1	F	600.0
N	200.0	W	600.0

単位:min

表-3 CTR

25

h. 機械系---投入機械系は低能力, 中能力, 高能力の3種類をとり, スパン長はアーチ部を15mに固定

した。

6. シミュレーション結果の解析

(1) ポイント間隔の変化に対するシステムの挙動

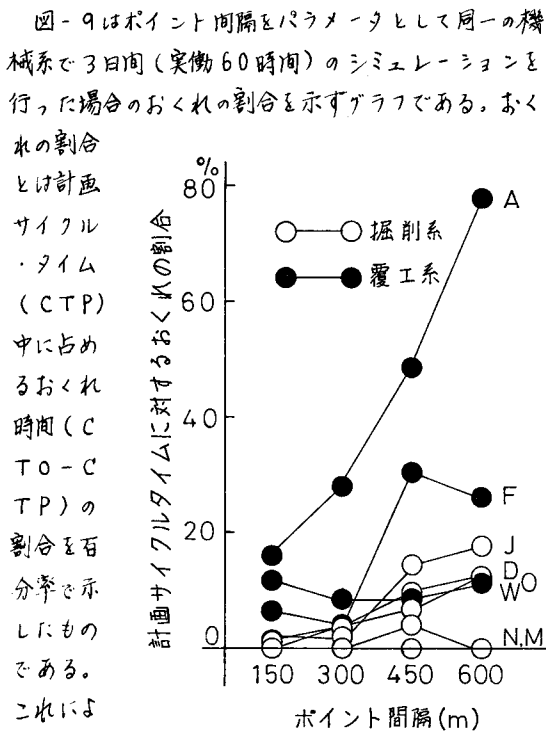


図-9 ポイント間隔とおくれの割合の関係

クリート打設作業(A)のおくれの割合とポイント間隔の間に強い相関がみられる。即ち、ポイント間隔が増大すればおくれの割合は加速的に増大する。又専坑(D)、上半(J)、大背(O)についてもポイント間隔の増大とともに、おくれの割合も増加するがアーチ部(A)ほど顕著ではない。これは覆工連作業の1サイクルの大半が列車の坑外作業場所と坑内作業場所との往復によって形成されるため運行上のおくれがサイクル・タイムのおくれとして累積し反映しやすい形態であるのに対し、掘削連作業は原則として1列車で1発破砕分の取り出しを行うという前提のため、切端が解放されさえすれば列車運行上のおくれがサイクル・タイムに影響しないという著しい列車運行形態の相違によるものと考えられる。従って、脚付コンクリート打設作業(F)のおくれの割合の変化が激しいのもこのような結果によるものと解釈される。

(2) 合理的機械系の探索

合理的機械系探索の結果の一例を図-10、11に示す。図-10は専坑、図-11はアーチ部について示したものである。ケースと機械系Niの対応を表-4に示す。表-4において最もほどこした部分はCTRを満たさない機械系である。(○印は合理的機械系)

切端 ケース	D	J	O	N	M	A	F	W	コスト (百万円)
1	■		N1			N1			486.5
2		■	N2	N2		N2	N2	N2	530.1
3	N3	554.8							
4	N3	N3	N1	N2	N3	N2	N1	N2	533.8
5	N3	N4	N1	N2	N3	N2	N1	N2	536.4

表-4 ケースと機械系の対応

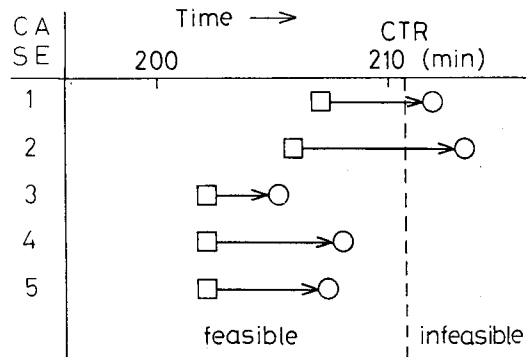


図-10 専坑(D)のシミュレーション結果

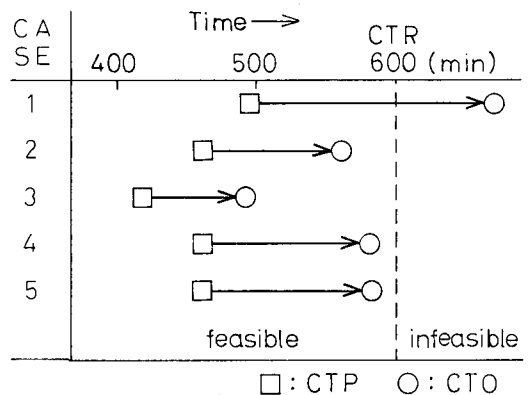


図-11 アーチ部(A)のシミュレーション結果

7. あとがき

極めて多くの要因が錯綜するトンネル工事の解析にはシミュレーション手法が有効であるが、今後はさらに多くのケースをシミュレートし、結果に対して十分な評価・検討を加える必要がある。